

S. Leonardis

Fakulteta za elektrotehniko, Ljubljana

M.Jagodič

L. Petrovčič

Dj.Zrilić

Institut za prenosno tehniko-ISKRA, Ljubljana

PROBLEMATIKA REALIZACIJ ADAPTIVNOG DELTA MODULATORA - ADM SA SLOGOVNIM KOMPANDIRANJEM

1. Uvod

Poznato je da se srednja snaga govornog signala mijenja po slogovima. Vokali i konsonanti grde slogove čije prosječno trajanje iznosi $1/4$ s. Od toga izgovor konsonanta traje $1/25$ do $1/50$ s i predstavlja prelazno stanje. Ostali dio vremena ispunjavaju vokali i to je stacionarno stanje [5].

Poznato je da je Δ -modulator tip modulatora sa povratnom vezom. Znači, karakteristike modulatora su određene kvalitetom lokalnog demodulatora, koji je sadran u toj povratnoj vezi. Strategijom slogovnog kompandiranja bi željeli očuvati konstantnu normalizovanu ulaznu snagu pri najvećem odnosu S/N. Podatak o veličini normalizovanog ulaznog signala je sadran u digitalnom izlazu modulatora. Ovaj digitalni izlaz memorišemo i detektujemo, a zatim vodimo na slogovni integrator. Vrijednost vremenske konstante slogovnog integratora je različita i prema mnogim autorima njeni veličina se kreće od $3 - 50$ ms [6]. Mnogi autori (Rigby, Smith, Canniff i dr.) su dali prednost slogovnom kompandiranju u odnosu na trenutno, kada je upotrebljen govor kao modulišući signal.

Najveću vrijednost normalizovane ulazne snage dostižemo onda kada je vjerovatno-ća nastupa 4 za redom jednaka bita: $0,1 \leq \eta \leq 0,3$ [7]. To dostižemo na više načina. Ovdje su usvojena dva načina vrijednotenja veličine ulaznog signala. Kad prvog je kompandorska logika izvedena na način prikazan na slici 1, tj. detektoranje 4 za redom jednaka bita, pa zatim produžavanja za 4 jednaka bita

Kod drugog načina je usvojena samo detekcija 4 jednaka bita, kao što je prikazano na slici 12.

2. Opis prve varijante ADM sa slogovnim kompandiranjem

Analizu ove varijante bi mogli podijeliti po njenim sklopovima: komparator, kompandorska logika, slogovni integrator, rekonstrukcijski integrator i impulsni amplitudni

modulator. Pošto bi analiza svih ovih sklopova bila obimna i izložila iz okvira ovog referata, ovdje su analizirani neki najznačajniji problemi pri realizaciji pojedinih sklopova.

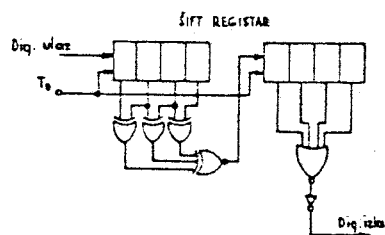
2.1 Komparator

Za zahtjevanu dinamiku $D \geq 40$ dB rekonstruisanog signala pri odnosu $S/N \geq 28$ dB i ulaznom signalu amplitude $1 V_{eff}$ u našem primjeru su zahtijevi sledeći:

- da ima dovoljnu osjetljivost (> 1 mV)
- da ima dovoljno pojačanje (≥ 72 dB u frekventnom području do $f_0/2$)
- vrijeme odziva nije uopće kritično
- da ima kompenzirane off-set napone.

2.2 Kompondorska logika

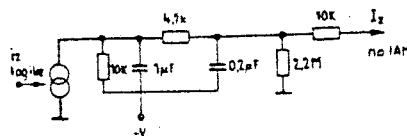
Sa detekcijom sekvence 4 jednako bita i produžavanjem sa 4 jednako bita postiže se jednosegmentnu kompondorskiju karakteristiku. Sa produžavanjem, sistem postane još posebno neosjetljiv na istovremene greške [6]. Realizaciju je prikazana na slići 1, a izvedeno je sa CMOS-logikom RCA serije CD 4000.



Sl. 1 Detekcija strmine ulaznog signala
(napojanje logike je: 0 - 10 V)

2.3 Slogovni integrator

Digitalni izlaz kompondorske logike vodimo na slogovni integrator I_2 (sl. 2).



Sl. 2 Strujni generator sa slogovnim integratorom
(R_M - određuje veličinu minimalne struje)

IAM je izведен sa operacijskim pojačavačem CA 3080 i on ima strujnu regulaciju pojačanja. Da bi obezbjedili strujnu regulaciju pojačanja IAM, neophodno je da izvedemo naponsko-strujnu konverziju digitalnog izlaza logike. U ovoj varijanti složnog integratora je dvojni i ima polove pri frekvenciji 15 Hz i 150 Hz. Za tačan rad IAM neophodna je velika tačnost elemenata u dvojnom integratoru.

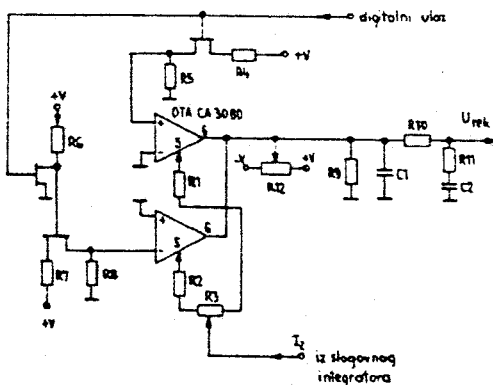
2.4 Impulsni amplitudni modulator - IAM

Ako usvojimo da je $S/N = A$, tada možemo za prosti primjer utvrditi približne toleranse u kojima se smiju kretati odstupanja kompletog IAM zajedno sa sloganovim i rekonstrukcijskim integratorom.

Neka je $S/N = 28 \text{ dB}$, tada odstupanje mora biti $\leq 4\%$.

Za $S/N = 33$ dB, tada odstupanje mora biti $\leq 2.25\%$.

To bi bile ustvari veličine promjene stepenice na strani demodulatora gledajući na onu u modulatoru. Postoje dvije mogućnosti realizacije IAM: da je regulisan strujno ili naponski. Ovdje je izvedena varijanta sa strujnom regulacijom. Naime, to je izvedba strujnog generatora koji dodatno sadrži diodno kompariranje (RCA-linear Katalog 1975 - transkonduktančni operacijski pojačavač CA 3080). Principijelno Šemski IAM je data na slici 3.

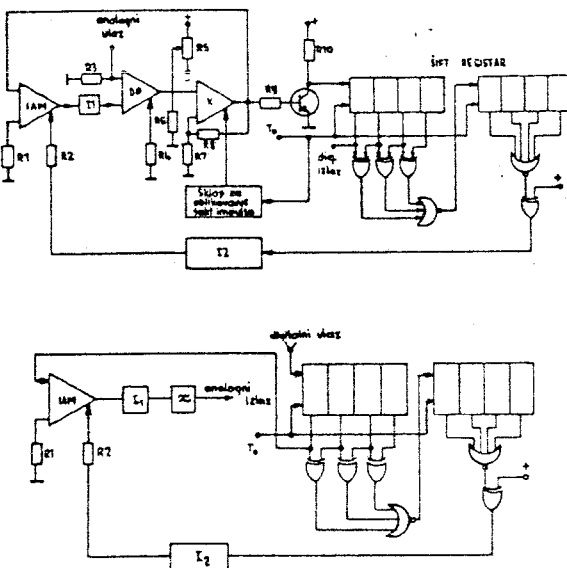


Sl. 3 IAM sa rekonstrukcijskim integratorom

Prednost ovog IAM pred ostalima je da je on ustvari prost strujni generator sa unutrašnjim komandiranjem. Izborom istih operacijskih transkonduktorskih pojačavača CA 3080 sa jednakom ovisnošću I od I_1 , dobili bi praktično idealan IAM, bez faznih promjena i frekventnih uticaja do 100 kHz.

Veliku ulogu na odnos S/N rekonstrukcijskog signala ima takođe rekonstrukcijski integrator. To se odnosi u prvom redu na izbor nula i polova, kao i izbor samih elemenata rekonstrukcijskog integratora. U slučaju da nam je sistem u modem izvedbi, tada nam se jove zahtevi za tačnošću obaju dvojinih integratora i IAM.

Na slici 4 je data uprošćena šema modulatorskog i demodulatorskog kola.



Sl. 4 Uprošćena principijelna šema modulatora i demodulatora

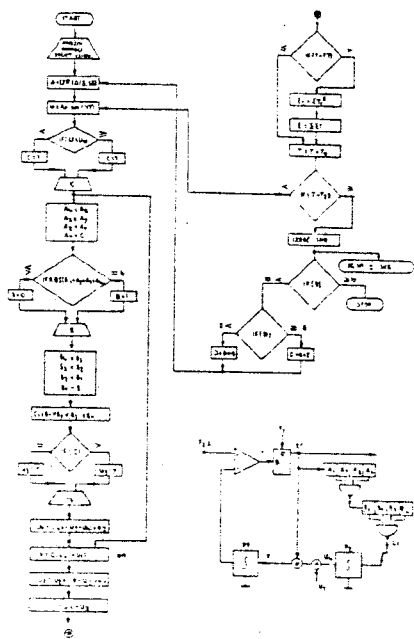
2.5 Rezultati računarskih simulacija

Na slici 5 je dat dijagram toka računarskih simulacija u BASICU na računaru HP-9830A. Simulacija je izvedena za kompandorsku logiku sa odlukom na 4 jednaka bita i zatim sa produženjem za 4 jednaka bita.

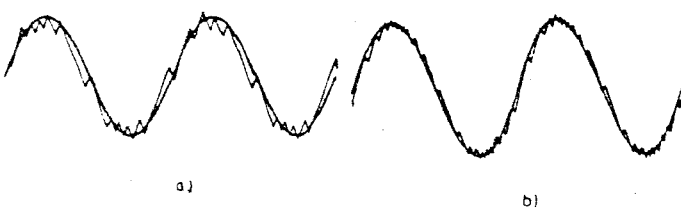
Na slici 6 je prikazana računarska simulacija rekonstruisanog sinusnog signala frekvencije $f = 800$ Hz, amplitude 1 V, pri ulaznom nivou 0 dB. Slogovno kompandiranje je izvedeno sa odlukom na 4 jednaka bita, pa zatim proširjujemo za 4 jednaka bita. Slogovni integrator ima vremensku konstantu punjenja $t_1 = 10$ ms, i praznjenja $t_2 = 20$ ms. Crtanje rekonstruisanog signala je počelo nakon 10 do 12 perioda od početka delta procesa. Za $f_o = 32$ kHz je odnos $S/N = 24,4$ dB a za $f_o = 64$ kHz je odnos $S/N = 34$ dB. U formuli za simulaciju je uzet u obzir filter propusnik opsega, $B = 3100$ Hz, kao i jednostruka integracija.

Na slici 7 je prikazana računarska simulacija rekonstruisanog odskočnog signala, amplitude 1 V pri 0 dB, pri različitim frekvencijama odmjeravanja. Uzeti su u obzir isti način kompandiranja kao i u prvom slučaju simulacije. Zbog velike vremenske

konstante, sa slike nije moguće vidjeti vrijeme smirivanja rekonstruisanog signala.

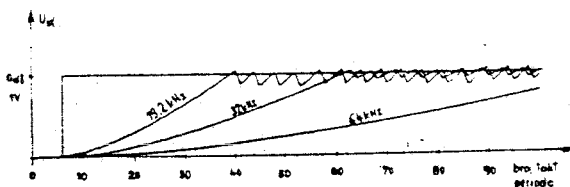


Sl. 5 Dijagram toka računarskih simulacija



Sl. 6 Simulirani odziv na sinusni signal frekvencije $F = 800$ Hz i frekvencija odmjeravanja

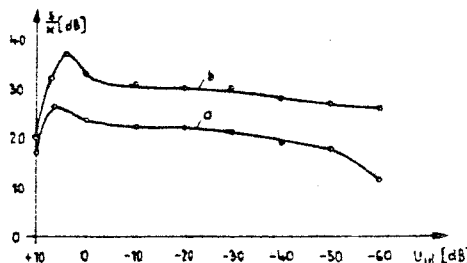
- $$b) \quad f_o = 64 \text{ kHz}$$



Sl. 7 Simulirani odziv na odskočnu funkciju amplitude 1 V pri 0 dB i različitim frekvencijama odmjeravanja

- a) $f_0 = 19,2 \text{ kHz}$
- b) $f_0 = 32 \text{ kHz}$
- c) $f_0 = 64 \text{ kHz}$

Na slici 8 su prikazani rezultati simulacije odnosa S/N ove varijante za sinusni signal frekvencije 800 Hz i frekvenciju odmjeravanja 32 kHz i 64 kHz. Pri ovoj simulaciji nije uzet u obzir kompondorski efekt diode u IAM-CA3080. Ova simulacija je izvedena za jednostruku integraciju u rekonstrukciji.



Sl. 8 Odnos S/N u funkciji ulaznog nivoa sinusnog signala frekvencije $f = 800$

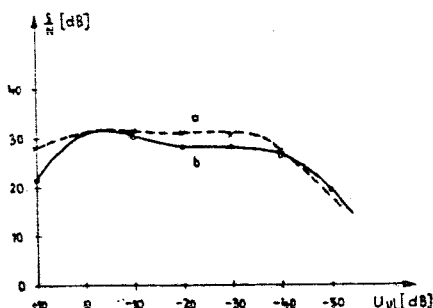
- a) $f_0 = 64 \text{ kHz}$
- b) $f_0 = 32 \text{ kHz}$

2.6 Rezultati mjerjenja

Jedan od zahtjeva je bio: izgradnja kvalitetnog digitalnog sloganovnog komandiranja, čiji kvalitet možemo kontrolisati, tako da komandiranje simuliramo i mjerimo kvalitet rekonstrukcije, tj. odnos S/N. Na slici 9. je prikazan odnos S/N u ovisnosti od veličine ulaznog nivoa signala (sinus frekvencije $f = 800$ Hz) za simulirano adaptivnost (kriva a) i adaptivnost sloganovnog komandatora (kriva b).

Na slične 10 se vidi razlika između teorijske a) i realizovane b) struje adaptacije I_2 za adaptivnu stepenicu u ovisnosti od nivoa ulaznog signala ($I_2 = I_{\text{JAM}}$ izl.). Simulirana adaptivnost ne daje uvek optimalnih rezultata, jer se u primjeru originalne adaptivnosti envelope popunju s pogonom integratoru mijenja u ritmu ulaza.

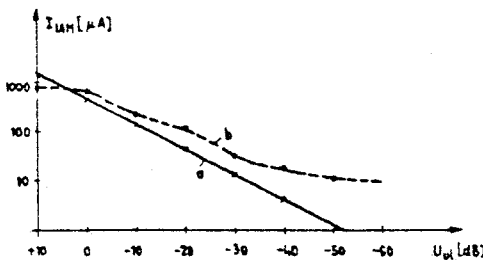
nog signala sa 10 %-tnom amplitudom kod nivoa - 40 dB, do nekoliko procenata jednosmjerne vrijednosti kod nivoa 0 dB ulaznog signala.



Sl. 9 Kvalitet rekonstruisanog signala na lokalnom demodulatoru

- a) simulirana adaptivnost (otvorena povratna vezu)
- b) sa zatvorenom povratnom vezom

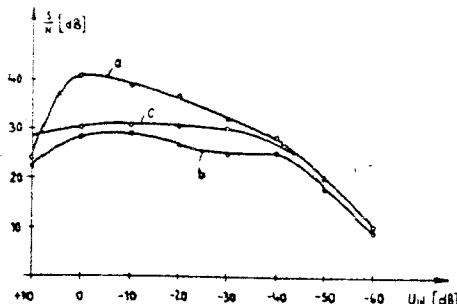
Sa slike 10 se takođe vidi razlika između vrijednosti adaptivne struje slobognog integratora I_z (kriva b) i teorijske vrijednosti I_z (kriva a). Taj efekat je naročito izražen pri nivou ulaznog signala od - 30 dB. Ovo je radi nesavršene izvedbe strujnog generatora, koji daje struju I_z . Pri nivou od - 40 dB dolazi do izražaja kom-pandorska osobina diode sadržane u IAM. Taj efekat se vidi na slici 11.



Sl. 10 Izlazna struja IAM u funkciji ulaznog nivoa signala

- a) teorijska vrijednost
- b) praktično realizirana vrijednost

Kao glavni kriterij za ocjenu kvalitete ADM uzet je odnos S/N. Mjerjenje je vršeno preko filtra-propusnika opsegom od 300 - 3400 kHz sa slabljenjem od 0,5 dB u propusnom opsegu. Rezultati mjerjenja su prikazani na slici 11.



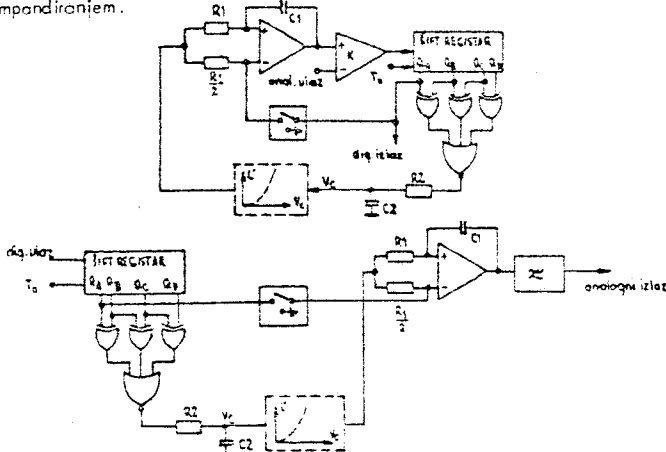
Sl. 11 Odnos S/N za sinusni signal frekvencije $f = 800$ Hz za različite ulazne nivoje.

- a) za $f_o = 64$ kHz
- b) simulirana adapt. pri $f_o = 32$ kHz
- c) mjereno na demodulatoru, prenosni kanal bez greške

3. Opis druge varijante ADM sa slobovnim kompondiranjem

U dolnjem radu se nastojalo minimizirati što više analognih komponenta sadržanih u prvoj varijanti. Premda je ta varijanta dala upotrebljive rezultate, nestojava se je jednom prostijom hardwareškom strategijom doći do upotrebljivih rezultata. U prvoj varijanti je kompondiranje izvedeno uz pomoć kompondorske logike, slobovnog integratora i IAM. Međutim, sa slike 4 vidimo da pri nižim ulaznim nivoima signala dolazi do degradacije odnosa S/N. Ovom drugom varijantom želimo zadržati odnos S/N konstantnim u dinamičkom opsegu od 40 dB, uz što skromniju hardwarešku konstrukciju.

Na slici 12 je prikazana druga varijanta modulatora i demodulatora sa slobovnim kompondiranjem.



Sl. 12 Principijelna šema druge varijante ADM sa slobovnim kompondiranjem

Mjera normalizovane ulazne snage je sadržana u izlaznom binarnom signalu. Za razliku od prve varijante, koja koristi kompadiranje sa produžavanjem na 4 jednaka bita, ovdje se koristi kompadiranje sa detekcijom 4 uzastopno jednakih bita bez logike za produžavanje. Znači, i ovdje, binarni izlaz, koga memorisemo u šift registru, upotrebljavamo kao indikator za ocjenu veličine normalizovane ulazne snage.

Modulator sa slike 12 sadrži sledeće bitne sklopove: komparator, kompadorsku logiku, sloganovni integrator vremenske konstante $t_2 = R_2 C_2$, sklop za kompadiranje i aktivni rekonstrukcijski integrator.

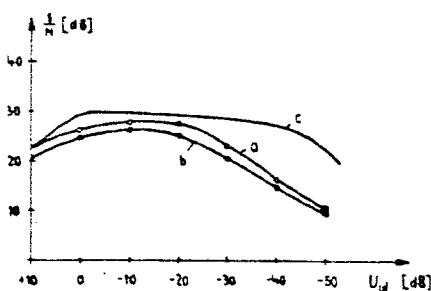
Za komparator se postavljaju isti zahtjevi kao i u prethodnoj izvedbi. Treba napomenuti da je u ovoj varijanti komparator prostije konstrukcije i njegovo pojačanje iznosi 130 dB, osjetljivost mu je jako velika. Realizovan je sa OTA CA 3080.

Kod kompadorske logike detekcija 4 suksesivne jedinice ili nule daje sloganovnom integratoru nalog da se dužina stepenice mijenja proporcionalno sa nivoom ulaznog signala. Izlazna funkcija kompadorske logike ima oblik

$$\eta = Q_A Q_B Q_C Q_D + \bar{Q}_A \bar{Q}_B \bar{Q}_C \bar{Q}_D$$

Vrijednost η je prema Canniffu (7) od 0,1 do 0,3. Napon sloganovnog integratora V_c se pojavljuje na kompadorskem sklopu. Ta promjena napona na ulazu kompadorskog sklopa prouzrokuje promjenu struje na izlazu tega sklopa. Zakon promjene se odvija po 4-segmentnoj aproksimacijskoj karakteristici, kao što je prikazano na slici 12.

Treba napomenuti da je realizacija kompadorskog sklopa u toku. Vrše se računarske simulacije u cilju iznalaženja optimalne kompadorske karakteristike za maximalan odnos S/N u dinamičkom području od 40 dB. Već su dobiveni bolji rezultati. Ovim sklopm se žele postići vrijednosti odnosa S/N, koje opisuje kriva c na slici 13. Na istoj slici su prikazani rezultati mjerjenja na modelu bez kompadorskog sklopa.



Sl. 13 Odnos S/N u funkciji nivoa ulaznog signala

- a) mjereno na lokalnom demodulatoru
- b) mjereno na prijemnom demodulatoru
- c) očekivano poboljšanje postignuto kompadorskim sklopm

Frezlika u odnosu S/N izmedju lokalnog i prijemnog demodulatora, nastaje zbog nesovršene jednakosti elemenata sa jedne strane i interne kompenzacije eventualnih odstupanja u samom modulatoru sa druge strane.

Mjerenje je vršeno na instrumentu "DISTORTION ANALYZER" preko filtra-propusnika opsega od 300 - 3400 Hz, sa slabljenjem od 0,5 dB u propusnom opsegu.

4. Poredjenje dobijenih rezultata

Mnogi autori su već dali prednost sloganovnom kompondiranju u odnosu na trenutno, kada se radi o govornim signalima. Pri trenutnom kompondiranju je uticaj greške, jako veliki. To su ustvari sinhroni sistemi. Naime, sloganove promjene se dešavaju jako sporo i ne postoji bojazan da bi greška na liniji izazvala degradaciju u odnosu S/N. Ovaj sistem je asinhron i za njega nije potrebno nikakvo izvodjenje posebnog sinhronizma.

Iz dobijenih rezultata se vidi da se dobije znatno bolji odnos S/N na širem dinamičkom području, u odnosu na trenutno kompondiranje /1/, /2/, /3/. Za očekivati je da će se dobiti još bolji rezultat optimizacijom sklopa za kompondiranje na isti način koga je dao Conniff /7/. Ukoliko želimo zadržati prostu hardwaresku strategiju ADM sa sloganovnim kompondiranjem, a pri tome želimo postići CCITT kvalitet propisan za PCM, onda je jasno da frekvencija odmjeravanja mora biti veća od 32 kHz (sl. 11 i sl. 13).

Bez obzira na to ADM sa sloganovnim kompondiranjem je upoređljiv u najnižim ravninama javne mreže, kao i u posebnim telefonskim mrežama gdje je strane CCITT ne zahtijevamo predviđen broj A/D konverzija.

Doljim usavršavanjem ADM možemo samo poboljšati dinamiku, međutim najveći odnos S/N, pri frekvenciji odmjeravanja $f_o = 32$ kHz, ostaje oko 29 dB.

Literatura:

- /1/ N.S. Jayant: "Adaptive Delta Modulation with a One-Bit Memory".
TBSTJ. March 1970, No. 3
- /2/ C.J. Kikkert: "Digital Techniques in Delta Modulation". IEEE Transactions on Communication Technology, August 1971.
- /3/ N.S. Jayant: "Digital Coding of Speech Waveforms: PCM, DPCM and DM - Quantizers". Proceedings of IEEE, Vol. 62, No. 5, May 1974
- /4/ Hansr. Schindler: "Linear, Nonlinear and Adaptive Delta Modulation." IEEE Transaction on Communications, Vol. com 22, No.11, November 1974
- /5/ A. Đomjanović, H. Kurtović: "Elektroakustika". Beograd, 1965
- /6/ J.A. Greefkes, K. Riemens: "Codemodulation mit digital gesteuerter Kompondierung für Sprechübertragung". Philips Technische Rundschau 1970/71, Nr. 11/12.
- /7/ R.J. Conniff: "Signal Processing in SLC - 40, a 40 channel rural subscriber carrier". Bell Laboratories Whippomny, New Jersey 07981.
- /8/ Dj. Zrilić, M. Jagodić, A. Irišić: "Adaptivni delta modulator sa digitalnom adaptacijom". "TEHNIKA" br. 11, 1075, Beograd
- /9/ S. Leonardić, M. Jagodić, A. Irišić, Dj. Zrilić: "Digitalni prenosni sistemi z adaptivno delta modulacijom". I. faza, april 1974.
Neobjavljen rad za SBK
- /10/ S. Leonardić, M. Jagodić, A. Irišić, M. Petrović, Dj. Zrilić:
"Digitalni prenosni sistemi z adaptivno delta modulacijom". II. faza, januar 1976 Neobjavljen rad za SBK

